

## Analyse discriminante multivoie sparse.

Laurent Le Brusquet, Arthur Tenenhaus, Gisela Lechuga

► **To cite this version:**

Laurent Le Brusquet, Arthur Tenenhaus, Gisela Lechuga. Analyse discriminante multivoie sparse.. 48èmes Journées de Statistique de la SFdS (JdS 2016), May 2016, Montpellier, France. 2016. <hal-01376457>

**HAL Id: hal-01376457**

**<https://hal-centralesupelec.archives-ouvertes.fr/hal-01376457>**

Submitted on 4 Oct 2016

**HAL** is a multi-disciplinary open access archive for the deposit and dissemination of scientific research documents, whether they are published or not. The documents may come from teaching and research institutions in France or abroad, or from public or private research centers.

L'archive ouverte pluridisciplinaire **HAL**, est destinée au dépôt et à la diffusion de documents scientifiques de niveau recherche, publiés ou non, émanant des établissements d'enseignement et de recherche français ou étrangers, des laboratoires publics ou privés.

# ANALYSE DISCRIMINANTE MULTIVOIE SPARSE

Laurent Le Brusquet<sup>1</sup>, Arthur Tenenhaus<sup>1</sup> & Gisela Lechuga<sup>1</sup>

<sup>1</sup> *Laboratoire des Signaux et Systèmes, CentraleSupélec - CNRS - Univ. Paris-Sud 3, Université Paris-Saclay, Université Paris-Saclay, 3 rue Joliot Curie 91192, Gif-sur-Yvette, prenom.nom@centralesupelec.fr*

**Résumé.** De nombreux papiers concernent les méthodes d'analyse pour données multivoie. Par exemple, la régression PLS, l'analyse en composantes principales, l'analyse discriminante, la régression logistique ont leurs extensions dans le cadre des données multivoie. Ce papier montre que le cadre des méthodes multivoie est approprié pour introduire une contrainte supplémentaire de parcimonie. Une version « sparse » de l'analyse discriminante multivoie est ici présentée. Elle présente l'avantage d'être peu gourmande en temps de calcul et de faciliter l'interprétation du classifieur obtenu.

**Mots-clés.** Données multivoie, parcimonie, analyse discriminante.

**Abstract.** A sparse version of Fisher discriminant analysis for multiway data is presented. More specifically, this paper gathers two extensions of standard Fisher discriminant analysis. The first one is Multiway-FDA which has been designed to deal with multiway data. The second one is sparse-FDA which allows to reach a parsimonious classifier.

**Keywords.** Multiway analysis, sparsity, Fisher discriminant analysis.

## 1 Introduction

L'intérêt pour les méthodes d'analyse statistique des données multivoie est croissant depuis quelques années. Cet engouement est amplifié par la nécessité de traiter des données volumineuses et structurées. La plupart de ces extensions font intervenir une modélisation du vecteur des paramètres recherchés afin de tenir explicitement compte de la structure tensorielle des données. Cette modélisation présente également l'avantage de diminuer la taille du vecteur des paramètres à estimer, permettant ainsi une estimation possible en un temps de calcul raisonnable et une interprétation facilitée par le nombre restreint de paramètres.

Par ailleurs, utiliser un critère de type  $L_1$  afin de forcer la parcimonie du modèle est une technique utilisée pour un grand nombre d'analyses statistiques. Forcer la parcimonie conduit à des valeurs nulles pour le vecteur des paramètres recherchés et ainsi à une interprétation plus aisée des coefficients non nuls.

Ce papier réunit ces 2 techniques dédiées aux données de grande dimension et propose une version sparse de l'analyse discriminante multivoie. L'analyse proposée est particulièrement adaptée aux données multivoie pour lesquelles on souhaite un classifieur facile

à interpréter puisque l'interprétation des différents axes se fait séparément (intérêt de la modélisation multivoie), et que pour chaque axe, seulement une partie des variables intervient (intérêt de la pénalité  $L_1$ ).

La section 2 résume les différentes versions de l'analyse discriminante à l'origine de ce travail. La version sparse de l'analyse discriminante multivoie est présentée section 3 : le critère utilisé ainsi que la stratégie développée pour minimiser ce critère y sont présentés. L'analyse proposée est testée sur un exemple simulé.

## 2 Différentes versions de l'analyse discriminante

En analyse discriminante multivoie, les données explicatives ne sont pas représentées par une matrice, comme c'est le cas en analyse standard, mais par un tenseur : les variables explicatives sont ainsi observées selon plusieurs modalités. Afin d'alléger les explications le papier se concentre sur les tenseurs d'ordre 3 bien que la méthode proposée puisse s'appliquer aux tenseurs d'ordre quelconque. Les données spatio-temporelles sont un exemple de données multivoie.

Soit  $\{\underline{\mathbf{X}}_{ijk}\}_{1 \leq i \leq n, 1 \leq j \leq J, 1 \leq k \leq K}$  un tenseur d'ordre 3 de dimension  $n \times J \times K$  où  $n$  désigne le nombre d'individus,  $J$  le nombre de variables et  $K$  le nombre de modalités. Soit  $\mathbf{X}$  la matrice de taille  $n \times (JK)$  où chaque ligne  $\mathbf{x}_i = \text{vec}(\underline{\mathbf{X}}_{i..})^\top$ . Soit  $\mathbf{y}$  le vecteur de longueur  $n$  contenant la classe de chaque individu.

**Analyse discriminante.** L'analyse factorielle discriminante consiste à rechercher des projections de la forme  $g(\mathbf{x}) = \boldsymbol{\beta}^\top \mathbf{x}$ . Les vecteurs de poids  $\boldsymbol{\beta}$  sont choisis de sorte à maximiser le rapport variance interclasse / variance intraclasse. Ce rapport de variance s'écrit (voir Hastie et al (2009)) :

$$R(\boldsymbol{\beta}) = \frac{\boldsymbol{\beta}^\top (\mathbf{X}^u)^\top \mathbf{M}_{\text{Between}} \mathbf{X}^u \boldsymbol{\beta}}{\boldsymbol{\beta}^\top (\mathbf{X}^u)^\top \mathbf{M}_{\text{Within}} \mathbf{X}^u \boldsymbol{\beta} + \lambda \boldsymbol{\beta}^\top \boldsymbol{\beta}} \quad (1)$$

$\mathbf{M}_{\text{Between}}$  et  $\mathbf{M}_{\text{Within}}$  sont des matrices  $n \times n$  semi-définies positive ne dépendant que du vecteur  $\mathbf{y}$ . L'analyse discriminante régularisée fait intervenir le terme  $\lambda \boldsymbol{\beta}^\top \boldsymbol{\beta}$  afin de palier les problèmes numériques et contrer le phénomène de sur-apprentissage.

**Analyse discriminante multivoie (Multiway-FDA).** Elle consiste à optimiser le critère (1) en imposant une structure de Kronecker au vecteur  $\boldsymbol{\beta}$  cherché :  $\boldsymbol{\beta} = \boldsymbol{\beta}^K \otimes \boldsymbol{\beta}^J$ . Ainsi, au lieu de rechercher un poids  $\boldsymbol{\beta}_{j,k}$  pondérant l'influence de la variable  $j$  pour la modalité  $k$ , on se restreint à une analyse séparée de l'influence de la variable  $j$  et de la modalité  $k$ . Les vecteurs  $\boldsymbol{\beta}^K$  et  $\boldsymbol{\beta}^J$  sont obtenus par l'algorithme de directions alternées (1). Se référer à Lechuga et al (2015) pour plus de détails sur Multiway-FDA

---

**Algorithm 1** Calcul de l'axe principal d'une analyse Multiway-FDA
 

---

**Require:**  $\epsilon > 0$ ,  $\boldsymbol{\beta}^{K(0)}$ ,  $\underline{\mathbf{X}}$ ,  $\mathbf{y}$ ,  $\lambda$

$q \leftarrow 0$

**repeat**

- $\mathbf{X}_K = \sum_{k=1}^K \boldsymbol{\beta}_k^{K(q)} \underline{\mathbf{X}}_{.,k}$ ,  $\lambda^K = \lambda \|\boldsymbol{\beta}^{K(q)}\|_2^2$

$$\boldsymbol{\beta}^{J(q+1)} \leftarrow \operatorname{argmax}_{\boldsymbol{\beta}^J, \|\boldsymbol{\beta}^J\|=1} \frac{(\boldsymbol{\beta}^J)^\top \mathbf{X}_K^\top \mathbf{M}_{\text{Between}} \mathbf{X}_K \boldsymbol{\beta}^J}{(\boldsymbol{\beta}^J)^\top \mathbf{X}_K^\top \mathbf{M}_{\text{Within}} \mathbf{X}_K \boldsymbol{\beta}^J + \lambda^K \|\boldsymbol{\beta}^J\|_2^2}$$

- $\mathbf{X}_J = \sum_{j=1}^J \boldsymbol{\beta}_j^{J(q+1)} \underline{\mathbf{X}}_{.,j}$ ,  $\lambda^J = \lambda \|\boldsymbol{\beta}^{J(q+1)}\|_2^2$

$$\boldsymbol{\beta}^{K(q+1)} \leftarrow \operatorname{argmax}_{\boldsymbol{\beta}^K, \|\boldsymbol{\beta}^K\|=1} \frac{(\boldsymbol{\beta}^K)^\top \mathbf{X}_J^\top \mathbf{M}_{\text{Between}} \mathbf{X}_J \boldsymbol{\beta}^K}{(\boldsymbol{\beta}^K)^\top \mathbf{X}_J^\top \mathbf{M}_{\text{Within}} \mathbf{X}_J \boldsymbol{\beta}^K + \lambda^J \|\boldsymbol{\beta}^K\|_2^2}$$

- $q \leftarrow q + 1$

**until**  $\|\boldsymbol{\beta}^{K(q-1)} - \boldsymbol{\beta}^{K(q)}\| < \epsilon$

**return**  $(\boldsymbol{\beta}^{K(q)}, \boldsymbol{\beta}^{J(q)})$

---

**Analyse discriminante sparse (sparse-FDA).** Soit  $\mathbf{Y}$  la matrice disjonctive complète ( $\mathbf{Y}_{i,c} = 1$  si l'individu  $i$  est de la classe  $c$ ). Hastie et al (2009) ont montré que le critère de l'analyse discriminante, régularisée ou non, pouvait également s'écrire sous la forme d'un problème de régression. Supposons que  $s - 1$  vecteurs  $\boldsymbol{\beta}_r$  aient déjà été calculés. Le  $s^{\text{ième}}$  vecteur  $\boldsymbol{\beta}_s$  est défini par :

$$\min_{\boldsymbol{\beta}_s, \boldsymbol{\theta}_s} \{ \|\mathbf{Y}\boldsymbol{\theta}_s - \mathbf{X}\boldsymbol{\beta}_s\|_2^2 + \lambda \|\boldsymbol{\beta}_s\|_2^2 \} \quad \text{s.c.} \quad \frac{1}{n} \boldsymbol{\theta}_r^\top \mathbf{Y}^\top \mathbf{Y} \boldsymbol{\theta}_s = \delta_{rs}, \quad r \leq s \quad (2)$$

où  $\boldsymbol{\theta}_s$  est un vecteur de longueur  $C$  (nombre de classes). L'optimisation du critère s'effectue à l'aide d'un algorithme de directions alternées. Les étapes élémentaires sont ici très simples puisque, que ce soit pour l'optimisation par rapport à  $\boldsymbol{\beta}_s$  ou par rapport à  $\boldsymbol{\theta}_s$ , les optima ont des expressions analytiques. On aboutit ainsi à l'algorithme (2).

Pour forcer le vecteur  $\boldsymbol{\beta}$  à avoir un grand nombre de ses coefficients égaux à 0, la version sparse de l'analyse discriminante consiste à ajouter une pénalité  $L_1$  au critère précédent. Se référer à Clemmensen et al (2011) pour plus de détails :

$$\min_{\boldsymbol{\beta}_s, \boldsymbol{\theta}_s} \{ \|\mathbf{Y}\boldsymbol{\theta}_s - \mathbf{X}\boldsymbol{\beta}_s\|_2^2 + \lambda \|\boldsymbol{\beta}_s\|_2^2 + \lambda_1 \|\boldsymbol{\beta}_s\|_1 \} \quad \text{s.c.} \quad \frac{1}{n} \boldsymbol{\theta}_r^\top \mathbf{Y}^\top \mathbf{Y} \boldsymbol{\theta}_s = \delta_{rs}, \quad r \leq s \quad (3)$$

L'optimisation par rapport à  $\boldsymbol{\beta}$  se fait à l'aide de l'algorithme (2). L'optimisation par rapport à  $\boldsymbol{\beta}_s$  se fait par un algorithme de type elastic-net, largement étudié dans la littérature.

---

**Algorithm 2** Analyse discriminante exprimée comme un problème de régression

---

**Require:**  $\epsilon > 0$ ,  $\boldsymbol{\beta}_s^{(0)}$ ,  $\mathbf{X}$ ,  $\mathbf{y}$ ,  $\lambda$

$q \leftarrow 0$

**repeat**

$$\boldsymbol{\theta}_s^{(q)} \leftarrow \arg \min_{\boldsymbol{\theta}_s} \left\{ \|\mathbf{Y}\boldsymbol{\theta}_s - \mathbf{X}\boldsymbol{\beta}_s^{(q)}\|_2^2 \right\} \quad \text{s.c.} \quad \frac{1}{n}\boldsymbol{\theta}_r^\top \mathbf{Y}^\top \mathbf{Y}\boldsymbol{\theta}_s = \delta_{rs}, \quad r \leq s$$

$$\boldsymbol{\beta}_s^{(q+1)} \leftarrow \arg \min_{\boldsymbol{\beta}_s} \left\{ \|\mathbf{Y}\boldsymbol{\theta}_s^{(q)} - \mathbf{X}\boldsymbol{\beta}_s\|_2^2 + \lambda \|\boldsymbol{\beta}_s\|_2^2 \right\}$$

$q \leftarrow q + 1$

**until**  $\|\boldsymbol{\beta}_s^{(q)} - \boldsymbol{\beta}_s^{(q-1)}\| < \epsilon$

**return**  $\boldsymbol{\beta}_s^{(q)}$

---

### 3 Méthode proposée : Sparse Multiway-FDA

Elle consiste à reprendre la version multivoie de l'analyse discriminante en formulant les étapes d'analyse discriminante comme des problèmes de régression et en ajoutant au critère une pénalité  $L_1$  :

$$\min_{\boldsymbol{\beta}_s, \boldsymbol{\theta}_s} \left\{ \|\mathbf{Y}\boldsymbol{\theta}_s - \mathbf{X}\boldsymbol{\beta}_s\|_2^2 + \lambda \|\boldsymbol{\beta}_s\|_2^2 + \lambda_1 P(\boldsymbol{\beta}_s) \right\} \quad \text{s.c.} \quad \begin{cases} \frac{1}{n}\boldsymbol{\theta}_r^\top \mathbf{Y}^\top \mathbf{Y}\boldsymbol{\theta}_s = \delta_{rs}, & r \leq s \\ \boldsymbol{\beta}_s = \boldsymbol{\beta}_s^K \boldsymbol{\beta}_s^J \end{cases} \quad (4)$$

Deux pénalités ont été imaginées :

1.  $P(\boldsymbol{\beta}_s) = \|\boldsymbol{\beta}_s\|_1 = \|\boldsymbol{\beta}_s^K\|_1 \|\boldsymbol{\beta}_s^J\|_1$ . Il s'agit de la transposition immédiate de l'équation (3).
2.  $P(\boldsymbol{\beta}_s) = \alpha \|\boldsymbol{\beta}_s^K\|_1 + (1 - \alpha) \|\boldsymbol{\beta}_s^J\|_1$ . Cette contrainte permet de forcer la parcimonie sur un axe plutôt que sur un autre. Pour les cas extrêmes ( $\alpha = 0$  ou  $\alpha = 1$ ), la sparsité n'est imposée que sur l'un des deux axes. Cette stratégie est à rapprocher des pénalités de type groupe lasso (sans recouvrement) pour lesquelles tout un ensemble de variables est sélectionné ou non.

La convergence de l'algorithme peut être accélérée en ne faisant qu'une itération dans l'algorithme (2). On obtient ainsi l'algorithme (3) présenté pour la pénalité  $P(\boldsymbol{\beta}_s) = \|\boldsymbol{\beta}_s\|_1$ .

**Exemple illustratif.** L'algorithme proposé a été appliqué à des données simulées : pour chacun des  $n = 26$  individus,  $K = 7$  spectres calculés pour  $J = 750$  longueurs d'ondes ont été simulés. Les 7 modalités obtenues correspondent à 7 profondeurs différentes. Les  $n = 26$  individus sont répartis en 2 classes. La figure (1) donne un exemple de quelques spectres obtenus à un même instant pour deux individus de classes différentes.

Sparse Multiway FDA a été comparée à (i) la version sparse de l'analyse discriminante (sparse-FDA), (ii) la version sparse de l'analyse discriminante avec une pénalité de type group-lasso, chaque spectre constituant un groupe de variables.

---

**Algorithm 3** Sparse Multiway-FDA

---

**Require:**  $\epsilon > 0$ ,  $\beta_s^{K(0)}$ ,  $\beta_s^{J(0)}$ ,  $\mathbf{X}$ ,  $\mathbf{y}$ ,  $\lambda$

$q \leftarrow 0$ ,  $\beta_s^{(q)} \leftarrow \beta_s^{K(q)} \otimes \beta_s^{J(q)}$

**repeat**

•  $\theta_s^{(q)} \leftarrow \arg \min_{\theta_s} \left\{ \|\mathbf{Y}\theta_s - \mathbf{X}\beta_s^{(q)}\|_2^2 \right\}$  s.c.  $\frac{1}{n}\theta_r^\top \mathbf{Y}^\top \mathbf{Y}\theta_s = \delta_{rs}$ ,  $r \leq s$

•  $\mathbf{X}_K = \sum_{k=1}^K \beta_k^{K(q)} \underline{\mathbf{X}}_{..k}$ ,  $\lambda_K = \lambda \|\beta^{K(q)}\|_2^2$ ,  $\lambda_1^K = \lambda_1 \|\beta^{K(q)}\|_1$

$\beta_s^{J(q+1)} \leftarrow \arg \min_{\beta_s^J} \left\{ \|\mathbf{Y}\theta_s^{(q)} - \mathbf{X}_K \beta_s^J\|_2^2 + \lambda_K \|\beta_s^J\|_2^2 + \lambda_1^K \|\beta_s^J\|_1 \right\}$

•  $\mathbf{X}_J = \sum_{j=1}^J \beta_j^{J(q+1)} \underline{\mathbf{X}}_{.j}$ ,  $\lambda_J = \lambda \|\beta^{J(q+1)}\|_2^2$ ,  $\lambda_1^J = \lambda_1 \|\beta^{J(q+1)}\|_1$

$\beta_s^{K(q+1)} \leftarrow \arg \min_{\beta_s^K} \left\{ \|\mathbf{Y}\theta_s^{(q)} - \mathbf{X}_K \beta_s^K\|_2^2 + \lambda_J \|\beta_s^K\|_2^2 + \lambda_1^J \|\beta_s^K\|_1 \right\}$

•  $q \leftarrow q + 1$

**until**  $\|\beta_s^{K(q)} - \beta_s^{K(q-1)}\| < \epsilon$

**return**  $(\beta_s^{K(q)}, \beta_s^{J(q)})$

---

Tous les algorithmes testés nécessitent l'optimisation de critères de type elastic-net, avec pour (ii) la contrainte supplémentaire de constituer des groupes de variables. Pour cela, les scripts fournis par Boyd et al (2011) ont été utilisés. Sparse Multiway-FDA a été appliqué avec la pénalité  $P(\beta_s) = \|\beta_s\|_1$ . Les poids  $\beta^J$  et  $\beta^K$  sont donnés figure (2) et table (1) : l'interprétation séparée des vecteurs de poids permet une interprétation facile plus facile qu'avec sparse-FDA (figure (3)) ou la technique group-lasso (figure (4)). En outre, les temps de calcul donnés table (2) montrent que l'algorithme proposé est rapide.

	prof.1	prof. 2	prof. 3	prof. 4	prof. 5	prof. 6	prof. 7
$\beta^K$	0	0	0	0	0.183	0.467	0.865

TABLE 1 – Sparse Multiway-FDA : vecteur  $\beta^K$  pondérant l'influence des profondeurs.

	taille optim L1	group lasso	temps CPU (s)
sparse Multiway-FDA	$J$ et $K$	non	1.20
sparse-FDA	$J \times K$	non	19.67
sparse-FDA group lasso	$J \times K$	oui	25.83

TABLE 2 – Comparaison des temps de calcul.

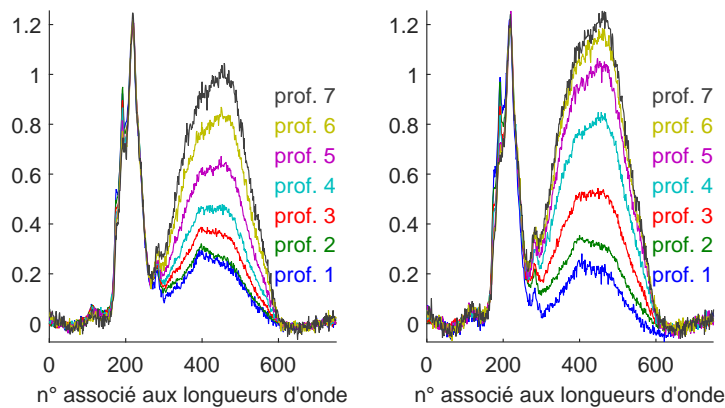


FIGURE 1 – Données simulées pour deux individus : pour chaque individu, 7 spectres ont été mesurés.

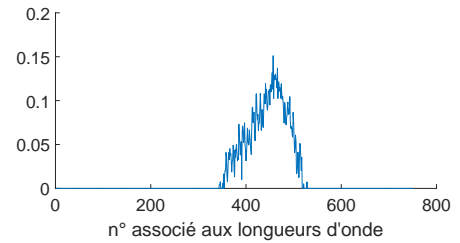


FIGURE 2 – Sparse MFDA : vecteur  $\beta^J$  obtenu.

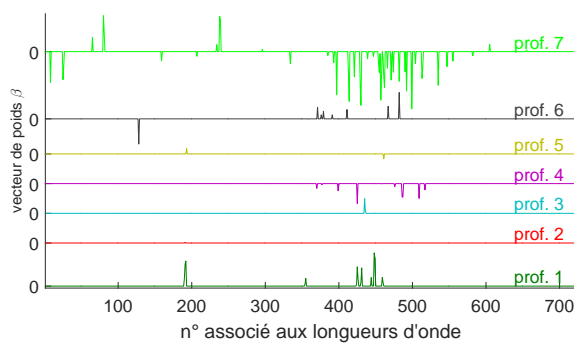


FIGURE 3 – Sparse-FDA : vecteur  $\beta$  obtenu.

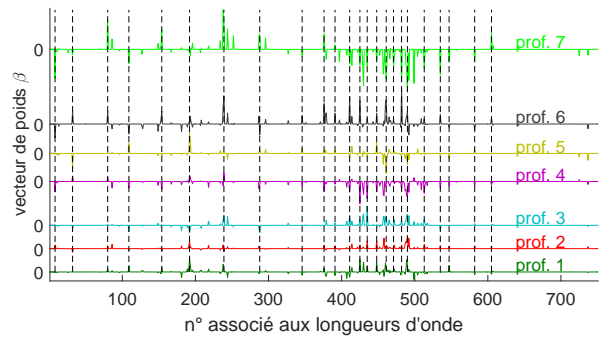


FIGURE 4 – FDA avec pénalité group-lasso : vecteur  $\beta$  obtenu

## Bibliographie

- [1] Lechuga G., Le Brusquet L., Perlberg V., Puybasset L., Galanaud D., Tenenhaus A. (2015), Proceedings in Mathematics and Statistics, chapter Discriminant Analysis for Multiway Data. Springer Verlag.
- [2] Hastie, T., Tibshirani, R. and Friedman, J. (2009), The Elements of Statistical Learning : Data Mining, Inference, and Prediction, Springer.
- [3] Clemmensen, L., Hastie, T., Witten, D. and Ersbøll B. (2011), Sparse discriminant analysis, Technometrics, 53(4) : 406-413.
- [4] Boyd S., Parikh N., Chu E., Peleato B., and Eckstein J. (2011), Distributed Optimization and Statistical Learning via the Alternating Direction Method of Multipliers, Foundations and Trends in Machine Learning.